

Richiami di cinematica

Prof. Giorgio Buttazzo

Dipartimento di Informatica e Sistemistica
Università di Pavia

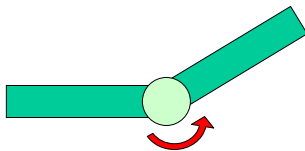
E-mail: buttazzo@unipv.it

Sistemi robotici

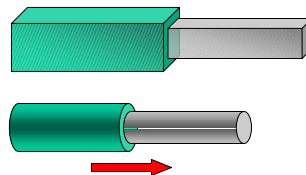
Sono sistemi costituiti da un insieme di corpi rigidi (**link**) connessi mediante **giunti** attuati.

DOF (degrees of freedom) = numero di giunti indipendenti

Tipi di giunto

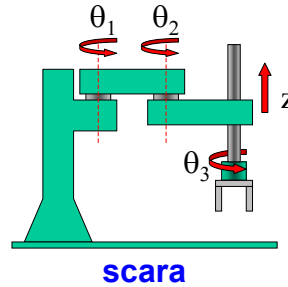
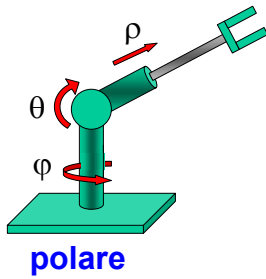
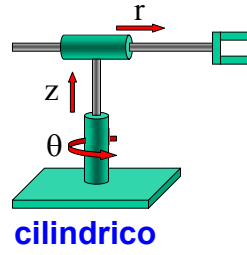
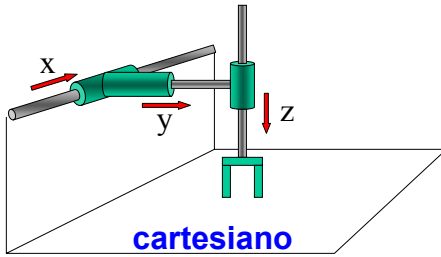


rotazionale



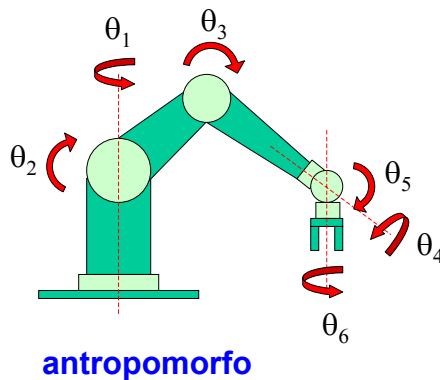
prismatico

Tipi di robot



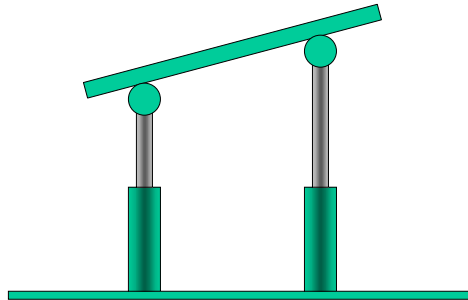
3

Manipolatori antropomorfi



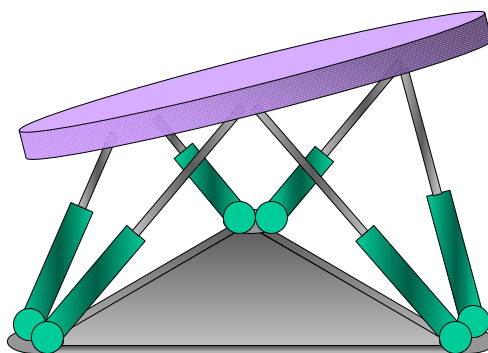
4

Robot paralleli



5

Robot paralleli



Piattaforma di Stuart

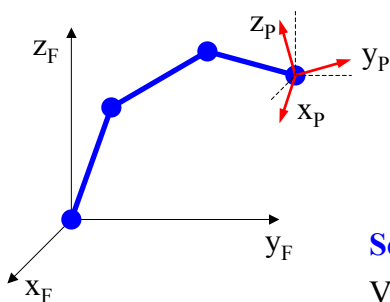
6



7

Problema cinematico

Posizionare la pinza nello spazio in una data posizione e con un dato orientamento rispetto ad un sistema di riferimento assoluto.



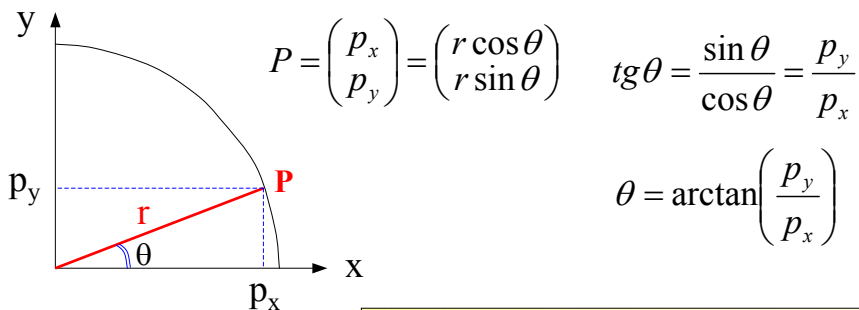
Localione $(x, y, z, \alpha, \theta, \phi)$
sestupla che specifica posizione e orientamento di una terna rispetto a un sistema di riferimento

Soluzione cinematica

Valori dei giunti che portano la pinza nella localione desiderata

8

Richiami di trigonometria

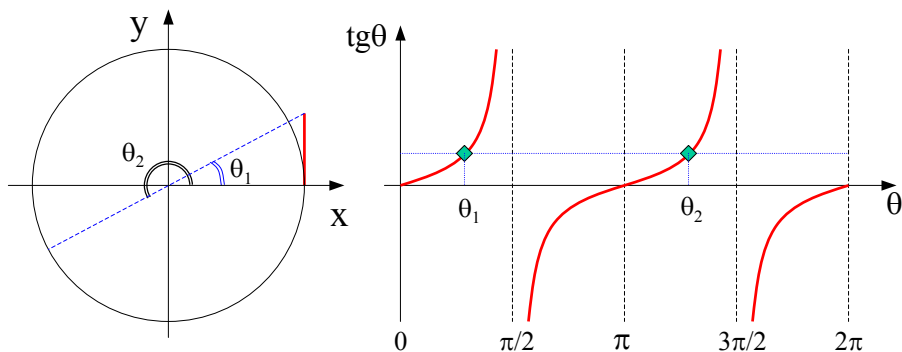


$$\begin{aligned} \sin(-\alpha) &= -\sin \alpha \\ \cos(-\alpha) &= \cos \alpha \\ (\sin \alpha)^2 + (\cos \alpha)^2 &= 1 \end{aligned}$$

$$\begin{aligned} \sin(\alpha + \beta) &= \sin \alpha \cos \beta + \cos \alpha \sin \beta \\ \cos(\alpha + \beta) &= \cos \alpha \cos \beta - \sin \alpha \sin \beta \\ \tan(\alpha + \beta) &= \frac{\tan \alpha + \tan \beta}{1 - \tan \alpha \tan \beta} \end{aligned}$$

9

Richiami di trigonometria

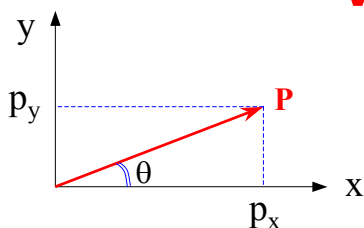


Per risolvere il dubbio sul doppio angolo si usa:

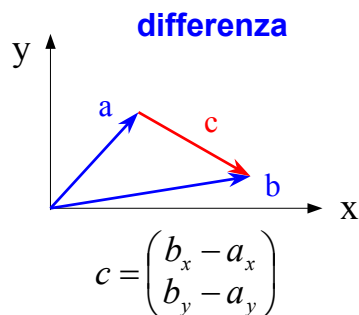
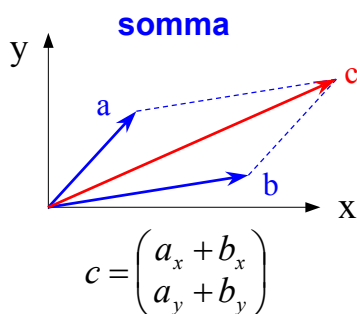
$$\theta = \text{atan2}(p_y, p_x)$$

10

Vettori

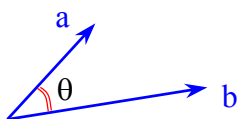


$$P = \begin{pmatrix} p_x \\ p_y \end{pmatrix} \quad \begin{cases} |P| = \sqrt{p_x^2 + p_y^2} \\ \theta = \arctan\left(\frac{p_y}{p_x}\right) \end{cases}$$



11

Prodotto scalare



$$a \cdot b = |a| |b| \cos\theta = \sum_{i=1}^n a_i b_i$$

$$a \cdot b = b \cdot a$$

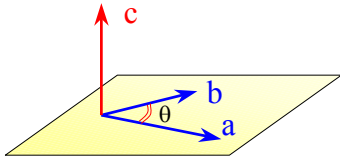
Esempio:

$$a = \begin{pmatrix} a_1 \\ a_2 \\ a_3 \end{pmatrix} \quad b = \begin{pmatrix} b_1 \\ b_2 \\ b_3 \end{pmatrix}$$

$$a \cdot b = a_1 b_1 + a_2 b_2 + a_3 b_3$$

12

Prodotto vettoriale



$$\begin{cases} a \wedge b = c \\ |c| = |a| |b| \sin\theta \\ a \wedge b = -b \wedge a \end{cases}$$

- ⇒ **c** giace sulla perpendicolare al piano di **a** e **b**
- ⇒ il verso di **c** è dato dalla regola della mano destra o dalla regola della vite

$$a = \begin{pmatrix} a_x \\ a_y \\ a_z \end{pmatrix} \quad b = \begin{pmatrix} b_x \\ b_y \\ b_z \end{pmatrix} \quad a \wedge b = \begin{pmatrix} \vec{x} & \vec{y} & \vec{z} \\ a_x & a_y & a_z \\ b_x & b_y & b_z \end{pmatrix}$$

13

Matrici

Determinante

$$A = \begin{pmatrix} a_{11} & a_{12} \\ a_{21} & a_{22} \end{pmatrix}$$

E' definito solo per matrici quadrate.
Per una matrice 2x2 vale:

$$\det A = |A| = a_{11}a_{22} - a_{21}a_{12}$$

Per matrici
n x n si ha:

$$\det A = \sum_{k=1}^n a_{ik} (-1)^{i+k} \det A_{ik} \quad \left[\begin{array}{l} \text{sviluppo} \\ \text{sulla riga } i \end{array} \right]$$

oppure:

$$\det A = \sum_{k=1}^n a_{kj} (-1)^{k+j} \det A_{kj} \quad \left[\begin{array}{l} \text{sviluppo} \\ \text{sulla colonna } j \end{array} \right]$$

A_{ik} è la matrice $(n-1) \times (n-1)$ ottenuta da A eliminando la riga i e la colonna k .

14

Esempio

$$A = \begin{pmatrix} 1 & 2 & -1 \\ 0 & 3 & 2 \\ 1 & 1 & 1 \end{pmatrix}$$

Sviluppando sulla riga 1 si ha:

$$A_{11} = \begin{pmatrix} \overline{1} & \overline{2} & \overline{-1} \\ \color{red}{|} & \color{red}{|} & \color{red}{|} \\ 0 & 3 & 2 \\ 1 & 1 & 1 \end{pmatrix} = \begin{pmatrix} 3 & 2 \\ 1 & 1 \end{pmatrix} \quad \det A_{11} = 3 \cdot 1 - 1 \cdot 2 = 1$$

$$A_{12} = \begin{pmatrix} \overline{1} & \overline{2} & \overline{-1} \\ 0 & \color{red}{|} & \color{red}{|} \\ 1 & 3 & 2 \\ 1 & 1 & 1 \end{pmatrix} = \begin{pmatrix} 0 & 2 \\ 1 & 1 \end{pmatrix} \quad \det A_{12} = 0 \cdot 1 - 1 \cdot 2 = -2$$

$$A_{13} = \begin{pmatrix} \overline{1} & \overline{2} & \overline{-1} \\ 0 & 3 & \color{red}{|} \\ 1 & 1 & 1 \end{pmatrix} = \begin{pmatrix} 0 & 3 \\ 1 & 1 \end{pmatrix} \quad \det A_{13} = 0 \cdot 1 - 1 \cdot 3 = -3$$

quindi: $\det A = 1 \cdot \det A_{11} - 2 \cdot \det A_{12} - 1 \cdot \det A_{13} = 8$

15

Matrici

Trasposta

La trasposta di A è la matrice A^T che si ottiene da A scambiando le righe con le colonne:

$$A = [a_{ij}]_{n,m} \quad \longrightarrow \quad A^T = [a_{ji}]_{m,n}$$

Esempio

$$A = \begin{pmatrix} 3 & 2 & 1 \\ 4 & 0 & 5 \end{pmatrix} \quad \longrightarrow \quad A^T = \begin{pmatrix} 3 & 4 \\ 2 & 0 \\ 1 & 5 \end{pmatrix}$$

16

Matrici

Inversa

E' definita solo per matrici quadrate
con determinante diverso da zero:

$$A^{-1} = \frac{\text{adj } A}{\det A}$$

dove $\text{adj } A$ (detta **aggiunta di A**) è una matrice nxn i cui elementi valgono:

$$a'_{ij} = (-1)^{i+j} \det A_{ji}$$

Esempio

$$A = \begin{pmatrix} a_{11} & a_{12} \\ a_{21} & a_{22} \end{pmatrix} \quad \text{adj } A = \begin{pmatrix} a_{22} & -a_{12} \\ -a_{21} & a_{11} \end{pmatrix}$$

[verificare che
 $A A^{-1} = I$]

$$A^{-1} = \frac{\begin{pmatrix} a_{22} & -a_{12} \\ -a_{21} & a_{11} \end{pmatrix}}{\det A} = \frac{\begin{pmatrix} a_{22} & -a_{12} \\ -a_{21} & a_{11} \end{pmatrix}}{a_{11}a_{22} - a_{21}a_{12}} \quad 17$$

Algebra delle matrici

Se $A = [a_{ij}]_{n,m}$ $B = [b_{ij}]_{n,m}$

Somma $A + B = C = [a_{ij} + b_{ij}]_{n,m}$

Sottrazione $A - B = C = [a_{ij} - b_{ij}]_{n,m}$

Prodotto Se $A = [a_{ij}]_{n,p}$ $B = [b_{ij}]_{p,m}$

$$A B = C = [c_{ij}]_{n,m}$$

$$c_{ij} = \sum_{k=1}^p a_{ik} b_{kj}$$

Esempio

$$A = \begin{matrix} 2 \times 3 \\ \begin{pmatrix} 1 & 0 & 2 \\ 0 & 2 & 1 \end{pmatrix} \end{matrix} \qquad B = \begin{matrix} 3 \times 4 \\ \begin{pmatrix} 2 & 3 & 0 & 1 \\ 4 & 2 & 1 & 0 \\ 0 & 3 & 2 & 1 \end{pmatrix} \end{matrix}$$

Calcolo dell'elemento c_{ij} :

riga i di A colonna j di B

$$\begin{matrix} [& a_{i1} & a_{i2} & a_{i3} &] \\ & \swarrow & \searrow & \searrow & \\ & b_{1j} & b_{2j} & b_{3j} & \end{matrix}$$

$$c_{ij} = c_{i1} b_{1j} + c_{i2} b_{2j} + c_{i3} b_{3j}$$

$$C = \begin{pmatrix} 2 & 9 & 4 & 3 \\ 8 & 7 & 4 & 1 \end{pmatrix}$$

19

Matrici: proprietà

$A + B = B + A$	somma commutativa
$(A+B) + C = A + (B+C)$	somma associativa
$(A B) C = A (B C)$	prodotto associativo
$A(B + C) = AB + AC$	distributiva
$A B \neq B A$	prodotto non commutativo

20

Matrici: altre proprietà

$(A^T)^T = A$ $(A+B)^T = A^T + B^T$ $(A B)^T = B^T A^T$	$\det(A^T) = \det(A)$ $\det(AB) = \det A \det B$ $\det(A^{-1}) = \frac{1}{\det(A)}$
$A A^{-1} = A^{-1} A = I$ $(A^{-1})^{-1} = A$ $(A B)^{-1} = B^{-1} A^{-1}$ $(A^T)^{-1} = (A^{-1})^T$	<p>rango: massimo numero di colonne indipendenti</p> <p>V_1 e V_2 sono indipendenti se $\nexists k \neq 0 : V_1 = kV_2$</p> <p>rango(A) = n \Rightarrow det(A) \neq 0</p> <p>rango(A) < n \Rightarrow det(A) = 0</p>

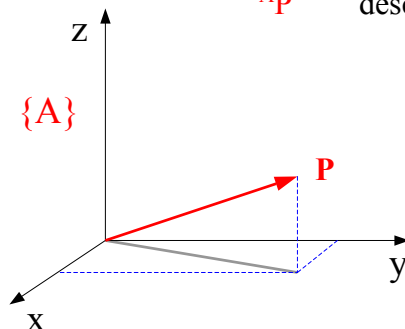
21

Descrizione spaziale

Posizione

$\{A\}$ sistema di riferimento cartesiano

${}^A P$ descrizione di P rispetto ad $\{A\}$



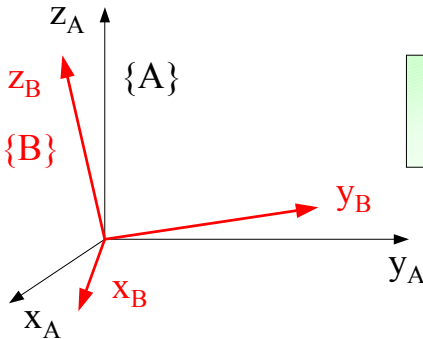
$${}^A P = \begin{pmatrix} p_x \\ p_y \\ p_z \end{pmatrix}$$

22

Descrizione spaziale

Rotazione

La rotazione di una terna $\{B\}$ rispetto ad una terna $\{A\}$ si definisce esprimendo i tre vettori di $\{B\}$ rispetto ad $\{A\}$:



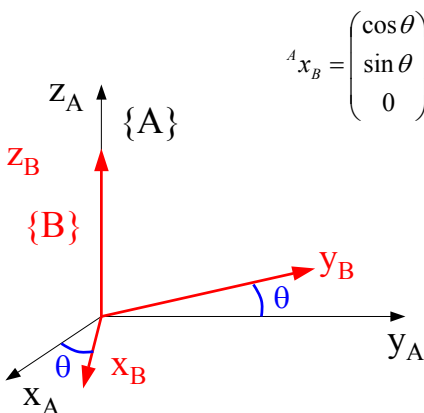
$${}^A R_B = \begin{bmatrix} {}^A X_B & {}^A Y_B & {}^A Z_B \end{bmatrix}$$

Matrice di rotazione

23

Esempio

Se la terna $\{B\}$ è ruotata di θ intorno a z_B si ha:



$${}^A x_B = \begin{pmatrix} \cos \theta \\ \sin \theta \\ 0 \end{pmatrix} \quad {}^A y_B = \begin{pmatrix} -\sin \theta \\ \cos \theta \\ 0 \end{pmatrix} \quad {}^A z_B = \begin{pmatrix} 0 \\ 0 \\ 1 \end{pmatrix}$$

$${}^A R_B = \begin{bmatrix} \cos \theta & -\sin \theta & 0 \\ \sin \theta & \cos \theta & 0 \\ 0 & 0 & 1 \end{bmatrix}$$

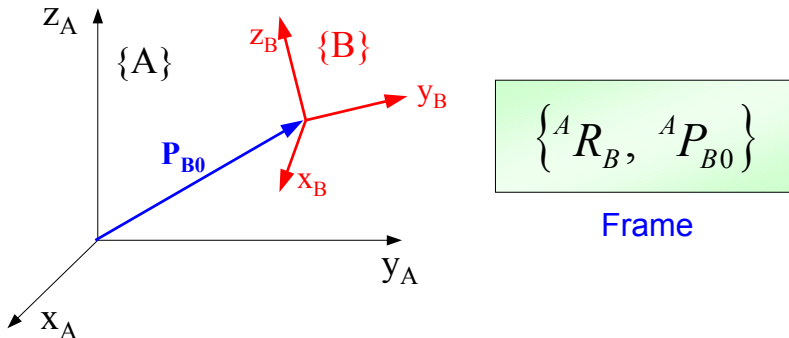
Matrice di rotazione

24

Descrizione spaziale

Frame

Una terna $\{B\}$ è completamente descritta dalla posizione della sua origine e dalla rotazione dei suoi assi rispetto ad $\{A\}$:

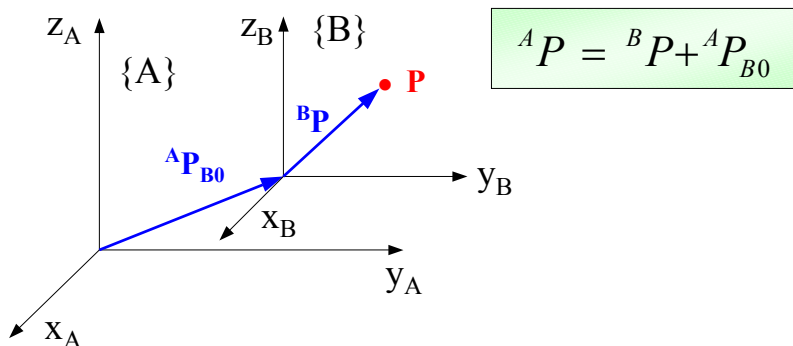


25

Trasformazioni

Consentono di cambiare la descrizione di un oggetto da una terna di riferimento ad un'altra.

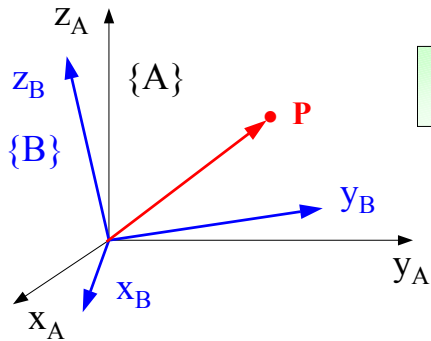
Traslazioni pure



26

Trasformazioni

Rotazioni pure

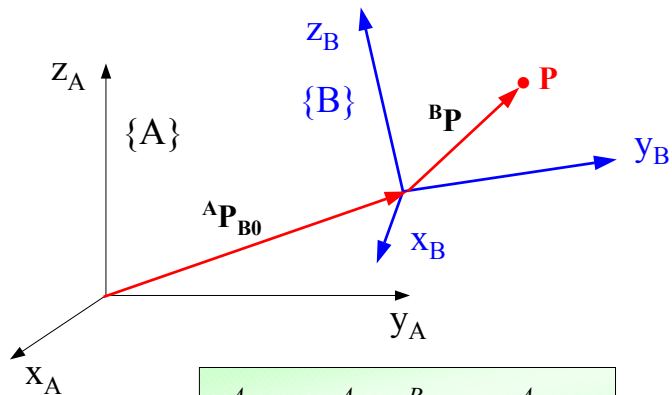


$${}^A P = {}^A R_B {}^B P$$

27

Trasformazioni

Roto-traslazioni



$${}^A P = {}^A R_B {}^B P + {}^A P_{B0}$$

28

Trasformazioni omogenee

Consentono di descrivere una roto-traslazione per mezzo di un operatore matriciale:

$${}^A P = {}^A R_B {}^B P + {}^A P_{B0}$$



$${}^A P = {}^A T_B {}^B P$$

29

Trasformazioni omogenee

Utilizzano una rappresentazione vettoriale in \mathfrak{R}^4

	\mathfrak{R}^3		\mathfrak{R}^4
punti:	$\begin{pmatrix} p_x \\ p_y \\ p_z \end{pmatrix}$	\longrightarrow	$\begin{pmatrix} p_x \\ p_y \\ p_z \\ 1 \end{pmatrix}$
vettori:	$\begin{pmatrix} v_x \\ v_y \\ v_z \end{pmatrix}$	\longrightarrow	$\begin{pmatrix} v_x \\ v_y \\ v_z \\ 0 \end{pmatrix}$
frame:	$\{ {}^A R_B, {}^A P_{B0} \}$	\longrightarrow	$\left[\begin{array}{ccc c} {}^A R_B & & & {}^A P_{B0} \\ \hline 0 & 0 & 0 & 1 \end{array} \right]$

30

Trasformazioni omogenee

Nello spazio omogeneo si ha:

$$\boxed{{}^A P = {}^A T_B {}^B P} \quad \text{dove: } {}^A T_B = \left[\begin{array}{ccc|c} {}^A R_B & & & {}^A P_{B0} \\ \hline 0 & 0 & 0 & 1 \end{array} \right]$$

Infatti:

$$\left[\begin{array}{ccc|c} {}^A R_B & & & {}^A P_{B0} \\ \hline 0 & 0 & 0 & 1 \end{array} \right] \begin{bmatrix} {}^B P \\ 1 \end{bmatrix} = \begin{bmatrix} {}^A R_B {}^B P + {}^A P_{B0} \\ 1 \end{bmatrix} = \begin{bmatrix} {}^A P \\ 1 \end{bmatrix}$$

31

Esempi

Traslazioni pure

$${}^A TRANS_B = \left[\begin{array}{ccc|c} 1 & 0 & 0 & d_x \\ 0 & 1 & 0 & d_y \\ 0 & 0 & 1 & d_z \\ \hline 0 & 0 & 0 & 1 \end{array} \right]$$

Rotazioni pure

$${}^A ROT_B = \left[\begin{array}{ccc|c} r_{11} & r_{12} & r_{13} & 0 \\ r_{21} & r_{22} & r_{23} & 0 \\ r_{31} & r_{32} & r_{33} & 0 \\ \hline 0 & 0 & 0 & 1 \end{array} \right]$$

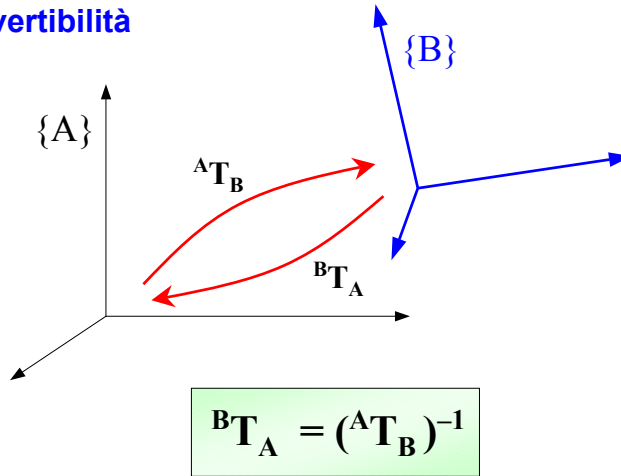
Roto-traslazioni

$${}^A T_B = \left[\begin{array}{ccc|c} r_{11} & r_{12} & r_{13} & d_x \\ r_{21} & r_{22} & r_{23} & d_y \\ r_{31} & r_{32} & r_{33} & d_z \\ \hline 0 & 0 & 0 & 1 \end{array} \right]$$

32

Trasformazioni omogenee: proprietà

Invertibilità



33

Trasformazioni omogenee: proprietà

NOTA: L'inversa di una matrice con colonne ortonormali è uguale alla sua trasposta

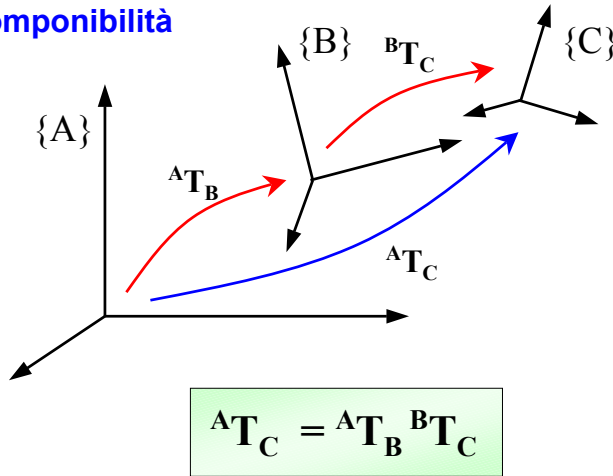
Quindi si ha:

$$\begin{bmatrix} n_x & o_x & a_x & p_x \\ n_y & o_y & a_y & p_y \\ n_z & o_z & a_z & p_z \\ 0 & 0 & 0 & 1 \end{bmatrix} = \begin{bmatrix} n_x & n_y & n_z & -p \bullet n \\ o_x & o_y & o_z & -p \bullet o \\ a_x & a_y & a_z & -p \bullet a \\ 0 & 0 & 0 & 1 \end{bmatrix}$$

34

Trasformazioni omogenee: proprietà

Componibilità



35

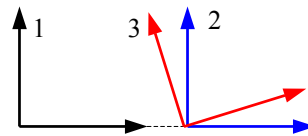
Trasformazioni omogenee: proprietà

La componibilità
non è commutativa

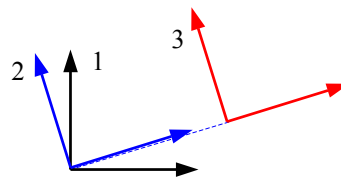
$$T_1 T_2 \neq T_2 T_1$$

Sia: $T_1 = \text{TRANS}(x, L)$ $T_2 = \text{ROT}(z, \theta)$

$$T_1 T_2 = \begin{bmatrix} c_\theta & -s_\theta & 0 & L \\ s_\theta & c_\theta & 0 & 0 \\ 0 & 0 & 1 & 0 \\ 0 & 0 & 0 & 1 \end{bmatrix}$$

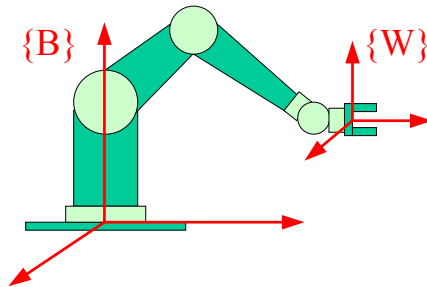


$$T_2 T_1 = \begin{bmatrix} c_\theta & -s_\theta & 0 & Lc_\theta \\ s_\theta & c_\theta & 0 & Ls_\theta \\ 0 & 0 & 1 & 0 \\ 0 & 0 & 0 & 1 \end{bmatrix}$$



36

Cinematica dei robot



Cinematica diretta: ${}^B T_W(\theta_1, \dots, \theta_n)$

Cinematica inversa: $\theta_i = f_i(\underbrace{x, y, z, \alpha, \beta, \gamma}_{\text{locazione del polso}})$

37

Spazi di rappresentazione

La configurazione di un manipolatore a N gradi di libertà può essere descritta nei seguenti spazi di rappresentazione:

Spazio cartesiano: $P \in \mathcal{R}^6$ vettore che esprime la locazione del polso

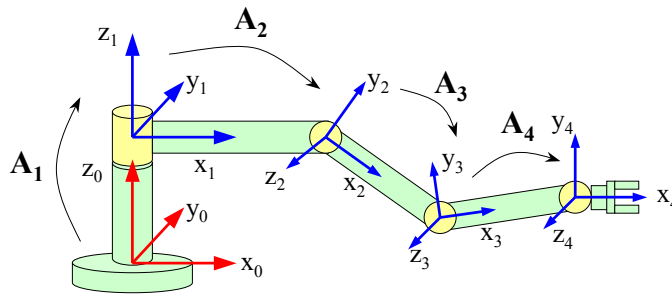
Spazio dei giunti: $\theta \in \mathcal{R}^N$ vettore delle variabili dei giunti

Spazio di attuazione: $\alpha \in \mathcal{R}^M$ vettore delle variabili dei motori ($M \geq N$)



38

Convenzioni



A_i = trasformazione omogenea che descrive $\{i\}$ rispetto a $\{i-1\}$

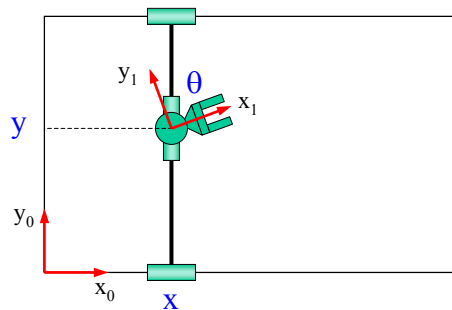
$$A_i = {}^{i-1}T_i$$

T_i = trasformazione omogenea che descrive $\{i\}$ rispetto a $\{0\}$

$$T_i = A_1 A_2 \dots A_i$$

39

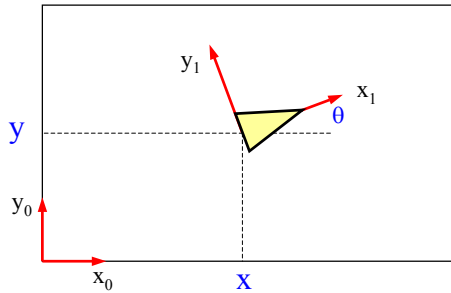
Esempio 1: robot cartesiano 2D



$$T_1 = \begin{pmatrix} c_\theta & -s_\theta & x \\ s_\theta & c_\theta & y \\ 0 & 0 & 1 \end{pmatrix}$$

40

Esempio 2: rotazioni oggetti 2D



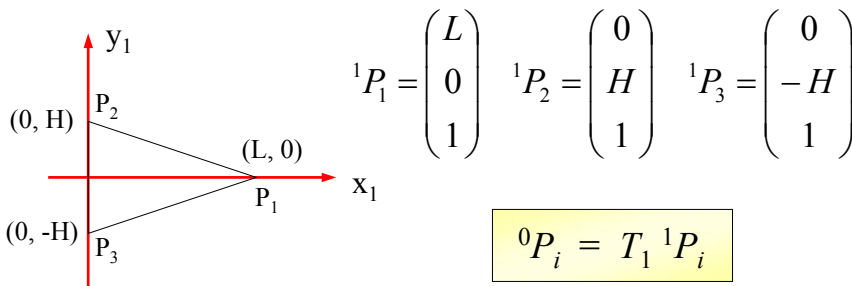
$$T_1 = \begin{pmatrix} c_\theta & -s_\theta & x \\ s_\theta & c_\theta & y \\ 0 & 0 & 1 \end{pmatrix}$$

Problema:

Trovare le coordinate dei vertici del triangolo nello spazio di riferimento fisso

41

Esempio 2: calcolo coordinate



$${}^1P_1 = \begin{pmatrix} L \\ 0 \\ 1 \end{pmatrix} \quad {}^1P_2 = \begin{pmatrix} 0 \\ H \\ 1 \end{pmatrix} \quad {}^1P_3 = \begin{pmatrix} 0 \\ -H \\ 1 \end{pmatrix}$$

$${}^0P_i = T_1 {}^1P_i$$

$${}^0P_1 = \begin{pmatrix} x + Lc_\theta \\ y + Ls_\theta \\ 1 \end{pmatrix} \quad {}^0P_2 = \begin{pmatrix} x - Hs_\theta \\ y + Hc_\theta \\ 1 \end{pmatrix} \quad {}^0P_3 = \begin{pmatrix} x + Hs_\theta \\ y - Hc_\theta \\ 1 \end{pmatrix}$$

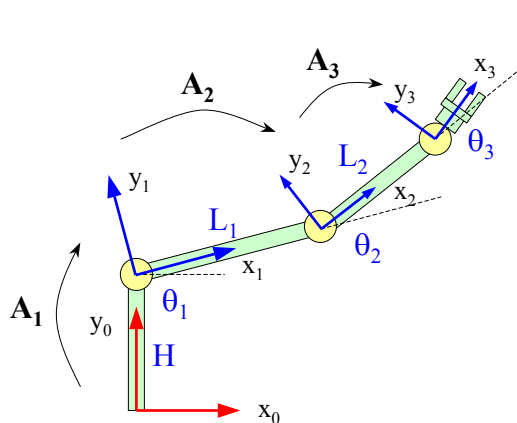
42

Esempio 2: programma

```
xold = yold = 0;
t = current_time();
Ts = sampling_period;
while (1) {
    input(v, teta);
    vx = v * cos(teta);
    vy = v * sin(teta);
    x = xold + vx*Ts;
    y = yold + vy*Ts;
    delete_object(xold, yold);
    draw_object(x, y);
    xold = x; yold = y;
    t = t + Ts;
    block_until(t);
}
```

43

Esempio 3: robot a 3 dof



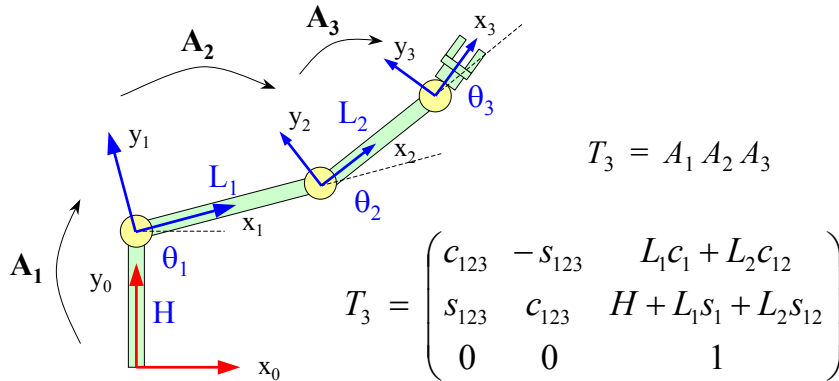
$$A_1 = \begin{pmatrix} c_1 & -s_1 & 0 \\ s_1 & c_1 & H \\ 0 & 0 & 1 \end{pmatrix}$$

$$A_2 = \begin{pmatrix} c_2 & -s_2 & L_1 \\ s_2 & c_2 & 0 \\ 0 & 0 & 1 \end{pmatrix}$$

$$A_3 = \begin{pmatrix} c_3 & -s_3 & L_2 \\ s_3 & c_3 & 0 \\ 0 & 0 & 1 \end{pmatrix}$$

44

Esempio 3: calcolo di T_3



simbologia

$$s_{12} = \sin(\theta_1 + \theta_2)$$

$$c_{12} = \cos(\theta_1 + \theta_2)$$

$$s_{123} = \sin(\theta_1 + \theta_2 + \theta_3)$$

$$c_{123} = \cos(\theta_1 + \theta_2 + \theta_3)$$

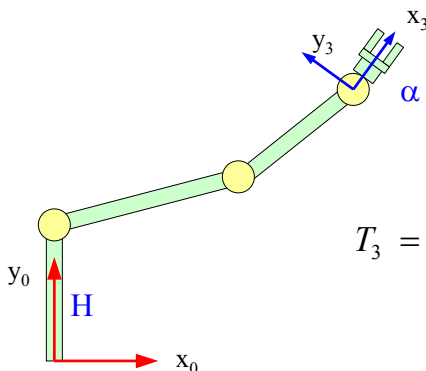
45

Cinematica inversa - 1

Consiste nel ricavare le coordinate del polso in funzione delle coordinate dei giunti:

Il polso è descritto dalla trasformazione T^*

$$T^* = \begin{pmatrix} c_\alpha & -s_\alpha & x \\ s_\alpha & c_\alpha & y \\ 0 & 0 & 1 \end{pmatrix}$$



$$T_3 = \begin{pmatrix} c_{123} & -s_{123} & L_1 c_1 + L_2 c_{12} \\ s_{123} & c_{123} & H + L_1 s_1 + L_2 s_{12} \\ 0 & 0 & 1 \end{pmatrix}$$

46

Cinematica inversa - 2

Eguagliando T^* con T_3 si ottiene:

$$\begin{cases} \alpha = \theta_1 + \theta_2 + \theta_3 & (1) \\ x = L_1 c_1 + L_2 c_{12} & (2) \\ y = H + L_1 s_1 + L_2 s_{12} & (3) \end{cases}$$

Riscriviamo la (2) e la (3) come segue:

$$\begin{cases} x = L_1 c_1 + L_2 c_{12} \\ y - H = L_1 s_1 + L_2 s_{12} \end{cases} \quad \text{Quadrando e sommando si ha:}$$

47

Cinematica inversa - 3

$$x^2 + (y - H)^2 = L_1^2 + L_2^2 + 2L_1 L_2 c_2$$

Da cui si ricava:

$$\begin{cases} c_2 = \frac{x^2 + (y - H)^2 - L_1^2 - L_2^2}{2L_1 L_2} \\ s_2 = \pm \sqrt{1 - c_2^2} \end{cases}$$

La scelta del segno dipende dalla configurazione del gomito desiderata:

- \Rightarrow gomito in su
- + \Rightarrow gomito in giù

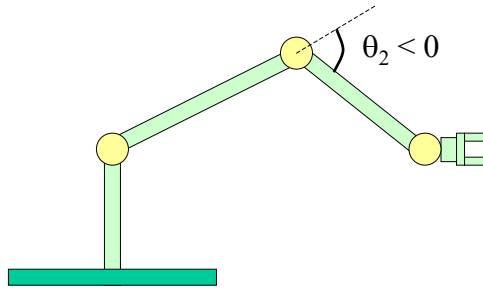
E quindi:

$$\theta_2 = \text{atan2}(s_2, c_2)$$

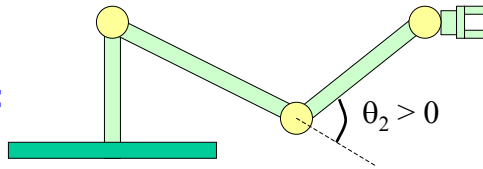
48

Cinematica inversa - 4

Configurazione
gomito su ($\theta_2 < 0$):



Configurazione
gomito giù ($\theta_2 > 0$):



49

Cinematica inversa - 5

Ricavato θ_2 , risolviamo la (2) e la (3) in termini di θ_1 :

$$\begin{cases} x = L_1 c_1 + L_2 c_1 c_2 - L_2 s_1 s_2 = (L_1 + L_2 c_2) c_1 - (L_2 s_2) s_1 \\ y - H = L_1 s_1 + L_2 s_1 c_2 + L_2 c_1 s_2 = (L_1 + L_2 c_2) s_1 + (L_2 s_2) c_1 \end{cases}$$

$$\text{Ponendo } \begin{cases} k_1 = L_1 + L_2 c_2 \\ k_2 = L_2 s_2 \end{cases}$$

$$\text{si ha: } \begin{cases} x = k_1 c_1 - k_2 s_1 \\ y - H = k_1 s_1 + k_2 c_1 \end{cases}$$

50

Cinematica inversa - 6

Scriviamo k_1 e k_2 come:

$$\begin{cases} k_1 = r \cos \gamma \\ k_2 = r \sin \gamma \end{cases} \longrightarrow \begin{cases} r = \sqrt{k_1^2 + k_2^2} \\ \gamma = \text{atan2}(k_2, k_1) \end{cases}$$

Quindi:
$$\begin{cases} x = r c_\gamma c_1 - r s_\gamma s_1 = r \cos(\gamma + \theta_1) \\ y - H = r c_\gamma s_1 + r s_\gamma c_1 = r \sin(\gamma + \theta_1) \end{cases}$$

Ovvero:
$$\tan(\gamma + \theta_1) = \frac{y - H}{x}$$

51

Cinematica inversa - 7

E quindi:
$$\theta_1 = \text{atan2}(y - H, x) - \gamma$$

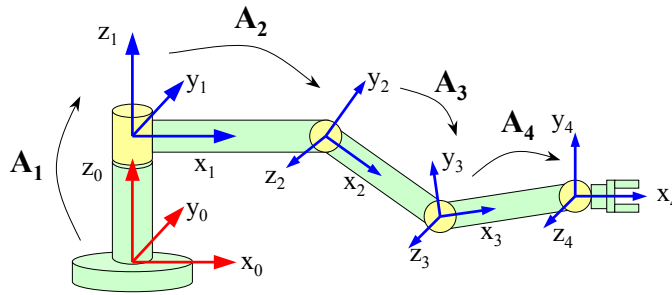
dove:
$$\gamma = \text{atan2}(k_2, k_1) = \text{atan2}(L_2 s_2, L_1 + L_2 c_2)$$

Infine, dalla (1) si ricava:

$$\theta_3 = \alpha - \theta_1 - \theta_2$$

52

Robot a 4 dof: calcolo matrici A_1 e A_2



$$A_1 = \begin{bmatrix} c_1 & -s_1 & 0 & 0 \\ s_1 & c_1 & 0 & 0 \\ 0 & 0 & 1 & H \\ 0 & 0 & 0 & 1 \end{bmatrix}$$

$$A_2 = \begin{bmatrix} c_2 & -s_2 & 0 & L_1 \\ 0 & 0 & -1 & 0 \\ s_2 & c_2 & 0 & 0 \\ 0 & 0 & 0 & 1 \end{bmatrix}$$

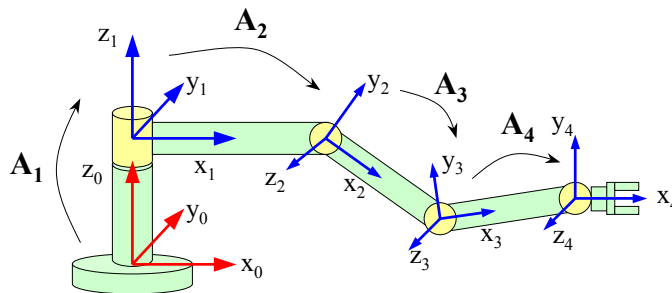
simbologia

$$s_i = \sin \theta_i$$

$$c_i = \cos \theta_i$$

53

Robot a 4 dof: calcolo matrici A_3 e A_4



$$A_3 = \begin{bmatrix} c_3 & -s_3 & 0 & L_2 \\ s_3 & c_3 & 0 & 0 \\ 0 & 0 & 1 & 0 \\ 0 & 0 & 0 & 1 \end{bmatrix}$$

$$A_4 = \begin{bmatrix} c_4 & -s_4 & 0 & L_3 \\ s_4 & c_4 & 0 & 0 \\ 0 & 0 & 1 & 0 \\ 0 & 0 & 0 & 1 \end{bmatrix}$$

simbologia

$$s_i = \sin \theta_i$$

$$c_i = \cos \theta_i$$

54

Robot a 4 dof: calcolo matrice T_4

$$A_1 A_2 = \begin{bmatrix} c_1 c_2 & -c_1 s_2 & s_1 & L_1 c_1 \\ s_1 c_2 & -s_1 s_2 & -c_1 & L_1 s_1 \\ s_2 & c_2 & 0 & H \\ 0 & 0 & 0 & 1 \end{bmatrix} \quad A_3 A_4 = \begin{bmatrix} c_{34} & -s_{34} & 0 & L_2 + L_3 c_3 \\ s_{34} & c_{34} & 0 & L_3 s_3 \\ 0 & 0 & 1 & 0 \\ 0 & 0 & 0 & 1 \end{bmatrix}$$

$$T_4 = A_1 A_2 A_3 A_4 = \begin{bmatrix} c_1 c_{234} & -c_1 s_{234} & s_1 & c_1 (L_1 + L_2 c_2 + L_3 c_{23}) \\ s_1 c_{234} & -s_1 s_{234} & -c_1 & s_1 (L_1 + L_2 c_2 + L_3 c_{23}) \\ s_{234} & c_{234} & 0 & L_2 s_2 + L_3 s_{23} + H \\ 0 & 0 & 0 & 1 \end{bmatrix}$$

simbologia

$$s_{23} = \sin(\theta_2 + \theta_3)$$

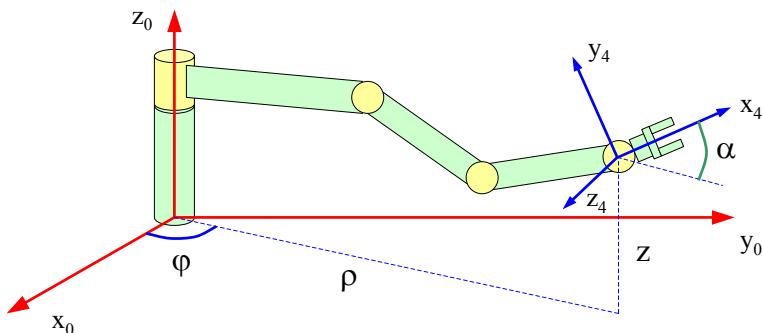
$$c_{23} = \cos(\theta_2 + \theta_3)$$

$$s_{234} = \sin(\theta_2 + \theta_3 + \theta_4)$$

$$c_{234} = \cos(\theta_2 + \theta_3 + \theta_4)$$

55

Robot a 4 dof: cinematica inversa - 1



Il polso è descritto
dalla trasformazione:

$$T^* = \begin{bmatrix} c_\phi c_\alpha & -c_\phi s_\alpha & s_\phi & \rho c_\phi \\ s_\phi c_\alpha & -s_\phi s_\alpha & -c_\phi & \rho s_\phi \\ s_\alpha & c_\alpha & 0 & z \\ 0 & 0 & 0 & 1 \end{bmatrix}$$

56

Robot a 4 dof: cinematica inversa - 2

Eguagliando \mathbf{T}^* con \mathbf{T}_4 si ottiene:

$$\left\{ \begin{array}{l} \alpha = \theta_2 + \theta_3 + \theta_4 \quad (1) \\ \varphi = \theta_1 \quad (2) \\ \rho - L_1 = L_2 c_2 + L_3 c_{23} \quad (3) \\ z - H = L_2 s_2 + L_3 s_{23} \quad (4) \end{array} \right.$$

Quadrando e sommando la (3) e la (4) si ha:

$$(\rho - L_1)^2 + (z - H)^2 = L_2^2 + L_3^2 + 2L_2L_3c_3$$

57

Robot a 4 dof: cinematica inversa - 3

Da cui si ricava:

$$\left\{ \begin{array}{l} c_2 = \frac{(\rho - L_1)^2 + (z - H)^2 - L_2^2 - L_3^2}{2L_2L_3} \\ s_3 = \pm \sqrt{1 - c_3^2} \end{array} \right.$$

La scelta del segno dipende dalla configurazione del gomito desiderata:

- \Rightarrow gomito in su
- + \Rightarrow gomito in giù

E quindi:

$$\theta_3 = \text{atan2}(s_3, c_3)$$

58

Robot a 4 dof: cinematica inversa - 4

Ricavato θ_3 , risolviamo la (3) e la (4) in termini di θ_2 :

$$\begin{cases} \rho - L_1 = (L_2 + L_3 c_3) c_2 - (L_3 s_3) s_2 \\ z - H = (L_2 + L_3 c_3) s_2 + (L_3 s_3) c_2 \end{cases}$$

$$\text{Ponendo} \quad \begin{cases} k_1 = L_2 + L_3 c_3 \\ k_2 = L_3 s_3 \end{cases}$$

$$\text{si ha:} \quad \begin{cases} \rho - L_1 = k_1 c_2 - k_2 s_2 \\ z - H = k_1 s_2 + k_2 c_2 \end{cases}$$

59

Robot a 4 dof: cinematica inversa - 5

Scriviamo k_1 e k_2 come:

$$\begin{cases} k_1 = r \cos \gamma \\ k_2 = r \sin \gamma \end{cases} \quad \longrightarrow \quad \begin{cases} r = \sqrt{k_1^2 + k_2^2} \\ \gamma = \text{atan2}(k_2, k_1) \end{cases}$$

$$\text{Quindi:} \quad \begin{cases} \rho - L_1 = r c_\gamma c_2 - r s_\gamma s_2 = r \cos(\gamma + \theta_2) \\ z - H = r c_\gamma s_2 + r s_\gamma c_2 = r \sin(\gamma + \theta_2) \end{cases}$$

$$\text{Ovvero:} \quad \tan(\gamma + \theta_2) = \frac{z - H}{\rho - L_1}$$

60

Robot a 4 dof: cinematica inversa - 6

E quindi:

$$\theta_2 = \text{atan2}(z - H, \rho - L_1) - \gamma$$

dove: $\gamma = \text{atan2}(k_2, k_1) = \text{atan2}(L_3 s_3, L_2 + L_3 c_3)$

Infine, dalla (1) si ricava:

$$\theta_4 = \alpha - \theta_2 - \theta_3$$